Линейные и нелинейные диэлектрические свойства сегнетоэлектрических композитов $(KH_2PO_4)_{1-x}/(Pb_{0.95}Ge_{0.05}Te\langle Ga\rangle)_x$

С. В. Барышников, Т. А. Меределина, Ю. А. Шацкая, А. А. Антонов

Исследованы линейные и нелинейные диэлектрические свойства композитов (KH_2PO_4)_{1 – χ}/ ($Pb_{0.95}Ge_{0.05}Te\langle Ga\rangle$)_{χ}. Показано, что с увеличением доли $Pb_{0.95}Ge_{0.05}Te\langle Ga\rangle$ происходит значительный рост как действительной, так и мнимой частей диэлектрической проницаемости. Фазовый переход (T_c = 123 K) размывается и на температурной зависимости диэлектрической проницаемости $\epsilon'(T)$ появляется гистерезис. Нелинейность, характеризуемая коэффициентом третьей гармоники, увеличивается с ростом x.

Ключевые слова: сегнетоэлектрики, композиты, диэлектрическая проницаемость, фазовые переходы.

Введение

Интенсивное исследование сегнетоэлектриков связано с их широким практическим применением, которое обусловлено их уникальными свойствами, в частности, большой диэлектрической проницаемостью и наличием спонтанной поляризации, а также зависимостью этих параметров от внешних возлействий.

В последнее время значительно вырос интерес к исследованиям физических свойств неоднородных полярных материалов [1-3]. Неоднородности в таких структурах обусловлены присутствием микро- и нановключений различных фаз, слоями объемного заряда и др. Неоднородные сегнетоэлектрические микро- и наноструктуры становятся более перспективными для технических применений, в частности, их используют для производства малогабаритных конденсаторов с большой удельной емкостью и нелинейных элементов для диэлектрических усилителей [4].

В связи с этим возникает проблема исследования и прогнозирования эффективных физических свойств неоднородных систем при различных внешних воздействиях. Особый интерес представляет изучение сегнетоэлектрических композитов в области фазового перехода, при котором сильно меняются свойства сегнетоэлектриков, а кристаллическая структура наиболее подвержена внешним воздействиям.

Композиты на основе сегнетоэлектриков могут иметь самую различную структуру: полярные частицы в слабо и сильно поляризуемых матрицах, полярные частицы в полярной матрице и др. Физические свойства таких композитов зависят от размера и геометрии частиц, а также существенную роль играют объемные соотношения компонент, взаимодействие частиц с матрицей и между собой. В совокупности все эти факторы приводят к тому, что характеристики полученных структур могут значительно отличаться от характеристик исходных материалов. Стоит также отметить, что в проводящих неоднородных структурах существенную роль играет поляризация Максвелл – Вагнера, приводящая к тому, что диэлектрическая проницаемость на низких частотах может возрастать на несколько порядков [5, 6].

Цель данной работы — исследование линейных и нелинейных диэлектрических свойств композитов $(KH_2PO_4)_{1-x}/(Pb_{0,95}Ge_{0,05}Te(Ga))_x$ для установления зависимости этих свойств от взаимного влияния компонент и наличия свободных носителей заряда.

Образцы и методика эксперимента

Дигидрофосфат калия KH_2PO_4 (KDP) при комнатной температуре кристаллизуется в тетрагональной системе. При понижении температуры в районе 123 К кристалл испытывает фазовый переход

второго рода в сегнетоэлектрическую фазу с ромбической симметрией. При этом полярная ось направлена вдоль оси c тетрагональной фазы. При комнатной температуре значения диэлектрической проницаемости вдоль осей a и c близки между собой и составляют примерно 50. При понижении температуры ε_{c} возрастает по гиперболическому закону, достигая при T_c значений порядка 10^5 . Выше температуры перехода в интервале 123 - 170 К диэлектрическая проницаемость изменяется по закону Кюри – Вейсса: $\varepsilon_c = C/(T - T_0)$, где константа Кюри C = 3250 K, а температура Кюри – Вейсса T_0 = 123 К [7, 8]. Таким образом, температура Кюри - Вейсса совпадает с температурой перехода T_c . Ниже температуры перехода ε_c спадает без скачка. Компонента ε_a обнаруживает незначительную аномалию при температуре перехода. Спонтанная поляризация P_s в точке перехода возникает без скачка и при $100 \,\mathrm{K}$ равна $4,7 \cdot 10^{-6} \,\mathrm{K/cm^2}$. Сегнетоэлектрическая активность КDР впервые была обнаружена Г. Бушем и П. Шеррером в 1935 году, и с тех пор свойства этого кристалла достаточно хорошо исследованы [9].

Для получения композита в качестве второй компоненты был выбран твердый раствор Pb_{0.95}Ge_{0.05}Te‹Ga›. Соединения Рb_{1 – v}Ge_vTe являются сегнетоэлектриками, в которых с изменением состава можно плавно смещать температуру фазового перехода, в то же время они представляют собой полупроводники с узкой запрещенной зоной (ширина запрещенной зоны $E_g \sim 0.2 - 0.4$ эВ). Легирование $Pb_{1-y}Ge_y$ Те галлием (~ 1 ат. %) приводит к возникновению глубокого примесного уровня ян-теллеровского типа, расположенного примерно на 70 мэВ ниже дна зоны проводимости, что приводит к значительному падению проводимости в области низких температур. Энергетический спектр, основные свойства и теоретические модели, описывающие примесные состояния галлия в РьТе и его твердых растворах, подробно представлены в монографии [10]. Наличие низкой проводимости и высоких значений диэлектрической проницаемости вблизи фазового перехода позволяет определять диэлектрическую проницаемость непосредственно из емкости образца на частотах порядка $10^3 - 10^6 \Gamma$ ц [11].

Особенности физических свойств $Pb_{1-y}Ge_y$ Те вблизи сегнетоэлектрического фазового перехода были исследованы следующими методами: измерения теплоемкости [12], электропроводности [13, 14] и диэлектрической проницаемости [11, 15]. Как было показано в [15], температура сегнетоэлектрического фазового перехода $Pb_{0,95}Ge_{0,05}$ Те $\langle Ga \rangle$ с большой точностью (1-2 K) совпадает с T_c для KDP, поэтому ниже 123 K оба компонента находятся в сегнетоэлект-

рическом состоянии, а выше 124 К — в параэлектрической фазе.

В эксперименте использовали образцы $(KH_2PO_4)_{1-x}$ $(Pb_{0.95}Ge_{0.05}Te\langle Ga \rangle)_x$, где объемная доля x = 0.2, 0.3 и 0,4. Для приготовления образцов исходные компоненты предварительно измельчали в агатовой ступке и просеивали через сито с ячейками размером 50 мкм, а затем тщательно перемешивали. Прессование проводили при комнатной температуре и давлении 6000 – 7000 кг/см². Время выдержки под давлением составляло 5 минут. Образцы имели форму таблеток диаметром 10 мм и толщиной 2 мм. Пористость образцов не превышала 3 %. Качество образцов контролировали с помощью электронного микроскопа Hitachi TM-1000. Размеры частиц $Pb_{0,95}Ge_{0,05}Te\langle Ga \rangle$ составляли 5 – 30 мкм. В качестве эталонных образцов использовали поликристаллические образцы КDР и керамические образцы Pb_{0.95}Ge_{0.05}Te‹Ga›.

Линейные диэлектрические свойства образцов определяли на цифровом измерителе иммитанса E7-25 с частотным диапазоном от 25 Γ ц до 1 М Γ ц в режиме непрерывного охлаждения и нагрева в диапазоне от 80 до 300 K со скоростью 1 К/мин. Амплитуда измерительного напряжения составляла 0,7 В. Погрешность измерения диэлектрической проницаемости не превышала 5%. В качестве электродов использовали индий-галлиевую эвтектику. Перед измерением образцы прогревали до 373 K, измерения проводили в вакуумной камере. Для измерения температуры использовали медный термометрсопротивление (R=100 Ом), при этом точность определения температуры составляла около 0,2 K.

Установка для исследования нелинейных диэлектрических свойств образцов включала в себя генератор синусоидальных колебаний с рабочей частотой 4 кГц. Напряжение поля составляло 2 В/см. Сигнал снимали с резистора, включенного последовательно с образцом, и подавали на цифровой анализатор спектра, в качестве которого служил компьютер с 24-разрядным аналого-цифровым преобразователем ZET 230 и программным обеспечением ZetLab. В процессе эксперимента регистрировали амплитуды третьей и первой гармоник. Более подробно методика нелинейных измерений описана в [16].

Экспериментальные результаты

Измерения линейной диэлектрической проницаемости

На рис. 1 приведен температурная зависимость действительной части диэлектрической проницаемости ϵ' для керамики $Pb_{0.95}Ge_{0.05}Te\langle Ga \rangle$. Как показали

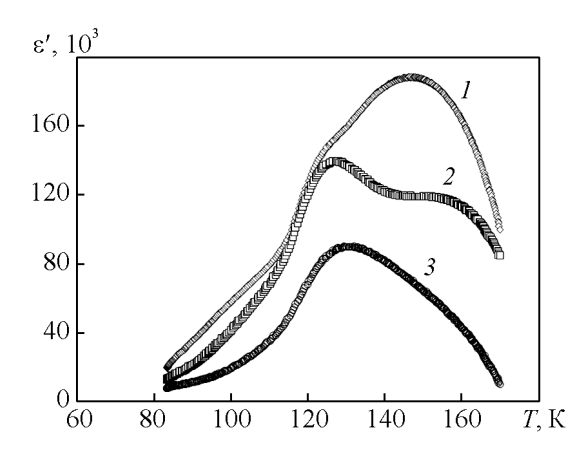


Рис. 1. Температурные зависимости диэлектрической проницаемости ${\rm Pb_{0.95}Ge_{0.05}Te}{<}{\rm Ga}{>}$ на частотах, $\Gamma_{\rm H}$: $t-10^4,\,2-10^5,\,3-10^6.$

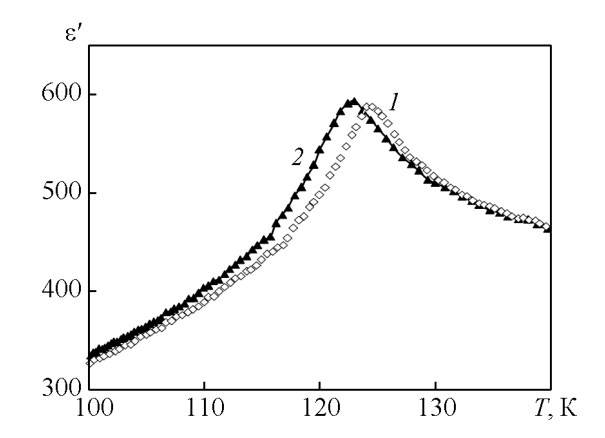


Рис. 2. Температурные зависимости диэлектрической проницаемости для образца $(KH_2PO_4)_{0.7}/(Pb_{0.95}Ge_{0.05}Te<Ga>)_{0.3}$ в режиме: 1 — нагрева, 2 — охлаждения.

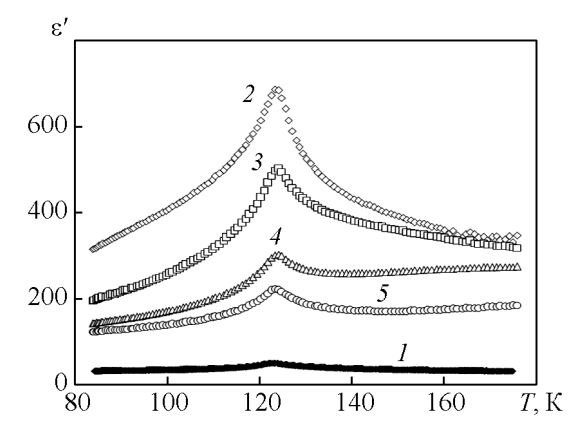


Рис. 3. Температурные зависимости диэлектрической проницаемости для поликристаллического образца KDP (1) и для образцов $(KH_2PO_4)_{0,7}/(Pb_{0,95}Ge_{0,05}Te<Ga>)_{0,3}$ на частотах: 2-1 к Γ ц, 3-10 к Γ ц, 4-100 к Γ ц, 5-1 М Γ ц.

исследования, для этого образца наблюдается сильное размытие фазового перехода и существенная зависимость ε' от частоты. На частоте 10^4 Γ ц значение ε' (T_c) составляет примерно $1,5\cdot 10^5$ при $\mathrm{tg}\delta(T_c)\approx 24$, на частоте 10^5 Γ ц — ε' (T_c) $\approx 1,38\cdot 10^5$ при $\mathrm{tg}\delta(T_c)\approx 2,4$, на частоте 10^6 Γ ц — ε' (T_c) $\approx 8,8\cdot 10^4$ при $\mathrm{tg}\delta(T_c)\approx 1,36$.

Для композитов (KH_2PO_4)_{1-x}/($Pb_{0.95}Ge_{0.05}Te\langle Ga\rangle$)_x диэлектрическая проницаемость с увеличением х значительно возрастает и сильно зависит от частоты. На частоте 10^6 Гц для состава с x = 0.2 значение $\varepsilon'(T_c)$ составляет примерно 220 при $tg\delta(T_c) \approx 0.21$, для состава с $x = 0,3 - \varepsilon'(T_c) \approx 280$ при $tg\delta(T_c) \approx 0,25$, для состава с $x = 0.4 - \varepsilon'(T_c) \approx 450$ при $\lg \delta(T_c) \approx 0.34$. Кроме того, в композитах наблюдается температурный гистерезис фазового перехода, зависящий от состава: для $x = 0.2 - \Delta T_c \approx 1$ K, для x = 0.3 $\Delta T_c \approx 1.5$ K, для $x = 0.4 - \Delta T_c \approx 2$ К. На рис. 2 представлены зависимости $\varepsilon'(T)$ для образца (KH₂PO₄)_{0.7}/(Pb_{0.95}Ge_{0.05}Te〈Ga〉)_{0.3} в режиме нагрева и охлаждения. На рис. 3 представлены зависимости $\varepsilon'(T)$ для образца $(KH_2PO_4)_{0.7}$ $(Pb_{0.95}Ge_{0.05}Te(Ga))_{0.3}$ на разных частотах, а также для сравнения приведена зависимость $\varepsilon'(T)$ для поликристаллического образца КDР. Фазовый переход для КDР наблюдается при 123 К, а диэлектрическая проницаемость в максимуме достигает порядка 50 и в пределах $10^3 - 10^6$ Гц не зависит от частоты.

На рис. 4 приведена температурная зависимость коэффициента $\phi(T) = \Delta \varepsilon'(x)/\Delta x$ для образца $(\mathrm{KH_2PO_4})_{1-x}/(\mathrm{Pb_{0.95}Ge_{0.05}Te\langle Ga\rangle})_x$, ϕ — характеризует степень влияния добавки $\mathrm{Pb_{0.95}Ge_{0.05}Te\langle Ga\rangle}$ на эффективную диэлектрическую проницаемость композита. Как следует из рис. 4, в сегнетоэлектрической фазе на частоте $10~\mathrm{k\Gamma u}$ коэффициент ϕ больше, чем в параэлектрической фазе, а функция $\phi(T)$ напоминает зависимость спонтанной поляризации от температуры. На частоте $1~\mathrm{M\Gamma u}$ значения ϕ в сегнетоэлектрической и параэлектрической фазах примерно равны, что говорит о присутствии дополнительного механизма поляризации на низких частотах в сегнетоэлектрической фазе.

Генерация третьей гармоники

На рис. 5 приведены результаты исследования полевой зависимости коэффициента третьей гармоники $\gamma_{3\omega} = U_{3\omega}/U_{\omega}$ для образцов $Pb_{0,95}Ge_{0,05}Te\langle Ga\rangle$, (KH₂PO₄)_{0,7}/(Pb_{0,95}Ge_{0,05}Te $\langle Ga\rangle$)_{0,3} и (KH₂PO₄)_{0,6}/(Pb_{0,95}Ge_{0,05}Te $\langle Ga\rangle$)_{0,4} в сегнетоэлектрической фазе. Исследования показали, что с увеличением x растет не только диэлектрическая проницаемость, но и её зависимость от поля.

Температурная зависимость коэффициентов третьей гармоники для образцов $Pb_{0,95}Ge_{0,05}$ Те $\langle Ga \rangle$ и

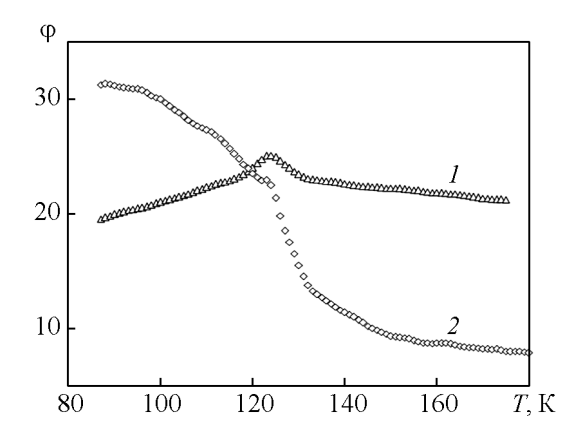


Рис. 4. Температурные зависимости $\phi(T)$ для композита $(\mathrm{KH_2PO_4})_{1-x}/(\mathrm{Pb_{0,95}Ge_{0,05}Te} < \mathrm{Gas})_x$ для x=0,3-0,4 на частотах: 1-1 МГц, 2-10 кГц.

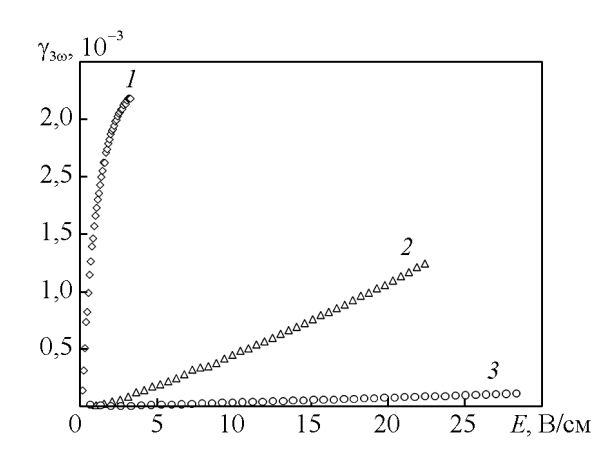


Рис. 5. Зависимость $\gamma_{3\omega}$ от напряженности модулирующего поля при T=80 К для: $1-\mathrm{Pb}_{0.95}\mathrm{Ge}_{0.05}\mathrm{Te}<\mathrm{Ga}>$, $2-(\mathrm{KH}_2\mathrm{PO}_4)_{0,6}/(\mathrm{Pb}_{0.95}\mathrm{Ge}_{0.05}\mathrm{Te}<\mathrm{Ga}>)_{0,4},\ 3-(\mathrm{KH}_2\mathrm{PO}_4)_{0.7}/(\mathrm{Pb}_{0.95}\mathrm{Ge}_{0.05}\mathrm{Te}<\mathrm{Ga}>)_{0.3}.$

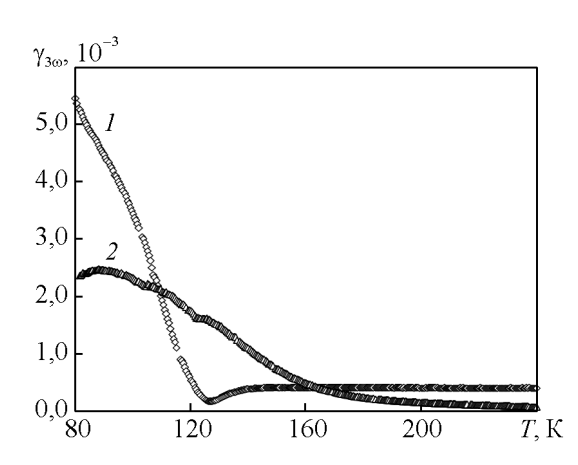


Рис. 6. Температурные зависимости $\gamma_{3\omega}$ при E=2 B/cм для: $1-\mathrm{Pb}_{0.95}\mathrm{Ge}_{0.05}\mathrm{Te}{<}\mathrm{Ga}{>},\ 2-(\mathrm{KH}_2\mathrm{PO}_4)_{0,7}/(\mathrm{Pb}_{0.95}\mathrm{Ge}_{0.05}\mathrm{Te}{<}\mathrm{Ga}{>})_{0,3}.$

 $(KH_2PO_4)_{0,7}/(Pb_{0,95}Ge_{0,05}Te\langle Ga\rangle)_{0,3}$ приведена на рис. 6. Как следует из графиков, для $Pb_{0,95}Ge_{0,05}Te\langle Ga\rangle$ $\gamma_{3\omega}$ достигает минимума при температуре фазового перехода, что соответствует моменту исчезновения спонтанной поляризации. Для состава $(KH_2PO_4)_{0,7}/(Pb_{0,95}Ge_{0,05}Te\langle Ga\rangle)_{0,3}$ при температуре 123 К имеется лишь малая аномалия, соответствующая фазовому переходу в KDP. Далее зависимость $\gamma_{3\omega}(T)$ для образца $(KH_2PO_4)_{0,7}/(Pb_{0,95}Ge_{0,05}Te\langle Ga\rangle)_{0,3}$ монотонно убывает, что может свидетельствовать о размытии фазового перехода, а также о том, что полярные группы, как и в релаксорах, существуют выше температуры фазового перехода, характерной для чистого KDP или $Pb_{0,95}Ge_{0,05}Te\langle Ga\rangle$.

Обсуждение результатов

С увеличением доли $Pb_{0,95}Ge_{0,05}Te\langle Ga\rangle$ в композитах (KH_2PO_4)_{1-x}/($Pb_{0,95}Ge_{0,05}Te\langle Ga\rangle$)_x, происходит рост как действительной, так и мнимой частей диэлектрической проницаемости; коэффициент $\phi(T) = \Delta \varepsilon'(x)/\Delta x$ на низких частотах в сегнетоэлектрической фазе больше, чем в параэлектрической; нелинейность, характеризуемая коэффициентом третьей гармоники, увеличивается с ростом x; фазовый переход размывается и на температурной зависимости $\varepsilon'(T)$ появляется гистерезис.

Чтобы объяснить увеличение диэлектрической проницаемости с ростом доли $Pb_{0.95}Ge_{0.05}Te\langle Ga \rangle$, следует учесть, что композитные материалы являются термодинамически неравновесными открытыми системами с развитой сетью внутренних границ раздела и градиентов химических потенциалов между компонентами. Эти явления обусловлены существованием ненасыщенного поля межатомных и межмолекулярных сил в поверхностных слоях на межфазной границе вследствие разного состава и строения соприкасающихся фаз, а также из-за отличия связей поверхностных атомов и молекул разных фаз [17]. Образование на межфазной границе двойного электрического слоя в результате эмиссии электронов или специфической эмиссии ионов, а также ориентации диполей в поле поверхностных сил приводит к появлению электрических поверхностных явлений: накоплению зарядов на границе раздела, поверхностной проводимости, поверхностного электрического потенциала и др. Результатом этого влияния является энергетический барьер, определяющий физические процессы на границе фаз [18].

Барьерная поляризация и диэлектрическая проницаемость в параэлектрической фазе для $(KH_2PO_4)_{1-x}/(Pb_{0,95}Ge_{0,05}Te\langle Ga\rangle)_x$ определяется площадью контактной поверхности (то есть размером

частиц), концентрацией свободных носителей и соотношением диэлектрических проницаемостей компонент. Вклад свободных носителей в диэлектрическую проницаемость определяется временем релаксации Максвелла ($\tau_M = \varepsilon_0/\sigma$) и дает существенный вклад на частотах $f \le 1/\tau_M$.

Рассматривая диэлектрическую проницаемость при T < 121 K, когда ($\mathrm{KH_2PO_4}$) $_{1-x}$ /($\mathrm{Pb_{0,95}Ge_{0,05}Te\langle Ga\rangle}$) $_x$ находится в сегнетоэлектрическом состоянии, необходимо учитывать наличие спонтанной поляризации. В работе [19] при определении величины потенциального барьера на границе сегнетоэлектрик — металл спонтанная поляризация учтена в виде дополнительного слагаемого вида

$$\Delta F = \sqrt{\frac{eP_s}{4\pi\varepsilon_0^2 \varepsilon_\infty \varepsilon_{st}}},\tag{1}$$

где e — заряд электрона, P_s — спонтанная поляризация, ϵ_{st} — статическая диэлектрическая проницаемость, ϵ_{∞} — высокочастотная (оптическая) проницаемость, ϵ_{0} — электрическая постоянная.

При наличии свободных носителей установление спонтанной поляризации в сегнетоэлектрике сопровождается накоплением компенсирующего заряда, который сводит энергию поля внутри и вне образца к минимуму. Если поляризация соседних зерен не параллельна, то неравный нулю скачок поляризации на границе между зернами порождает деполяризующие поля, которые в равновесном состоянии могут компенсироваться свободными зарядами на границе раздела. При этом с изменением спонтанной поляризации вблизи температуры Кюри меняется не только действительная, но и мнимая часть диэлектрической проницаемости.

Электрические свойства керамики, состоящей из полупроводниковых зерен с сопротивлением ρ_g и диэлектрической проницаемостью ϵ_g , окруженных изолирующими слоями с сопротивлением $\rho_b >> \rho_g$ и диэлектрической проницаемостью ϵ_b , теоретически рассматривали в [5, 8], где были получены соотношения типа формулы Дебая.

$$\rho = \rho_g + \frac{X\rho_b}{1 + \omega^2 \tau_1^2},\tag{2}$$

$$\varepsilon = \varepsilon_g + \frac{\varepsilon_b / X}{1 + \omega^2 \tau_2^2},\tag{3}$$

где $\tau_1 = \varepsilon_0 (\varepsilon_b^2 \rho_b \rho_g / X)^{1/2}$, $\tau_2 = \varepsilon_0 \varepsilon_b \rho_g / X$ — времена релаксации, X — отношение толщины барьера к толщине зерна, причем полагается, что сопротивление и емкость граничного слоя много больше, чем в объеме зерна.

Очевидно, что при высоких частотах электрические свойства определяются свойствами в объеме зерен, тогда как при низких частотах доминирует эффект граничных слоев. Если величина X мала, то эффективная низкочастотная диэлектрическая проницаемость становится исключительно большой. Ситуация для исследованных композитов $(KH_2PO_4)_{1-x}/(Pb_{0,95}Ge_{0,05}Te(Ga))_x$ немного отличается, хотя на качественном уровне соотношения (2) и (3) объясняют температурные и частотные зависимости диэлектрической проницаемости.

Нелинейность сегнетоэлектриков ниже T_c обусловлена изменением спонтанной поляризации доменов. При этом изменяющаяся поляризация приводит и к изменению диэлектрической проницаемости $\varepsilon \sim dP/dE$. Для электрического поля E много меньшего, чем коэрцитивное поле E_c , переключение поляризации не имеет места, и электрическое смещение D разлагается как степенной ряд по E

$$D = P_s + \varepsilon_1 \varepsilon_0 E + \varepsilon_2 \varepsilon_0^2 E^2 ..., \tag{4}$$

где P_s — спонтанная поляризация, ε_1 — линейная диэлектрическая проницаемость, ε_2 и ε_3 — диэлектрическая проницаемость второго и третьего порядка, соответственно. В сегнетоэлектрических материалах нелинейными членами нельзя пренебречь даже в относительно низком электрическом поле.

В работе [16] было показано, что для фазового перехода второго рода при $T\!<\!T_c$

$$\varepsilon_2 = -3\beta P_{\rm s} \chi^3,\tag{5}$$

$$\varepsilon_3 = \left(-\beta + 18\beta^2 P_s^2 \chi\right) \chi^4,\tag{6}$$

где χ — диэлектрическая восприимчивость, β — коэффициент в разложении Ландау — Гизбурга

$$F = F_0 + \frac{\alpha}{2} (T - T_c) P^2 + \frac{\beta}{4} P^4 + \frac{\gamma}{6} P^4 + \dots$$
 (7)

В правой части соотношения (7) $F_{\rm o}$ обозначает свободную энергию при P=0. Знаки коэффициентов α , β и γ определяют род фазового перехода. α и γ всегда положительны, а β положителен для перехода второго рода и отрицателен для первого рода. Таким образом, возрастание ϵ' приводит к возрастанию нелинейных вкладов ϵ_2 и ϵ_3 . При $T>T_{\rm c}$ $\epsilon_2=0$ и $\epsilon_3={\rm const.}$

Вопрос о температурном гистерезисе $\varepsilon'(T)$ для сегнетоэлектриков с размытым фазовым переходом второго рода обсуждался в [8]. Наличие микронеоднородностей в композитах может приводить к температурному гистерезису по нескольким причинам: 1) образование механических напряжений и освобождение от них при последовательных циклах

нагрева и охлаждения образцов; 2) появление внутренних электрических полей дефектов на границах неоднородностей; 3) экранирование свободными носителями зарядов поляризованных областей микрокристаллов. Для композита $(KH_2PO_4)_{1-x}$ $(Pb_{0.95}Ge_{0.05}Te\langle Ga\rangle)_x$ наиболее вероятными являются вторая и третья причины: появление внутренних электрических полей дефектов на границах неоднородностей и экранирование поляризованных областей микрокристаллов, которые в дальнейшем не участвуют в процессах переполяризации. О наличии полярных групп выше T = 124 K свидетельствуют и результаты наших исследований коэффициента третьей гармоники (рис. 6). Температурный гистерезис диэлектрической проницаемости может быть обусловлен и другими причинами. Например, "затягиванием" сегнетоэлектрических доменов в параэлектрическую фазу вследствие закрепления доменных границ дефектами решетки.

Заключение

В сегнетоэлектрических композитах $(KH_2PO_4)_{1-x}$ $(Pb_{0.95}Ge_{0.05}Te\langle Ga \rangle)_x$ диэлектрическая проницаемость с увеличением х значительно возрастает и сильно зависит от частоты. Кроме того, в композитах наблюдается температурный гистерезис фазового перехода, зависящий от состава. Для образца $(KH_2PO_4)_{1-x}/(Pb_{0.95}Ge_{0.05}Te\langle Ga\rangle)_x$ температурная зависимость коэффициента $\phi(T) = \Delta \varepsilon'(x)/\Delta x$, характеризующего степень влияния добавки $Pb_{0.95}Ge_{0.05}$ Te $\langle Ga \rangle$ на эффективную диэлектрическую проницаемость композита, в сегнетоэлектрической фазе на низких частотах больше, чем в параэлектрической фазе, а функция $\phi(T)$ напоминает зависимость спонтанной поляризации от температуры. На частоте 1 МГц значения ф в сегнетоэлектрической и параэлектрической фазах примерно равны, что говорит о присутствии дополнительного механизма поляризации (с большими временами релаксации), связанного с накоплением свободных носителей на границах доменных стенок и зёрен, компенсирующих спонтанную поляризацию. Межслоевая поляризация, появляющаяся за счет накопления зарядов на границе раздела, дает вклад не только в линейную, но и в нелинейную часть диэлектрической проницаемости.

Литература

- 1. Ferroelectrics Applications. Edited by Mickael Lallart. Publisher: InTech, 2011, 250 p. Access via http://www.intechopen.com/books/ferroelectrics-applications.
- Kamenshchikov M.V., Solnyshkin A.V., Bogomolov A.A., Pronin I.P. Electrical conduction mechanisms in PZT thin

- films deposited by RF magnetron sputtering method. Ferroelectrics, 2013, v. 442, no. 1, p. 101 106.
- 3. Baryshnikov S.V., Stukova E.V., Koroleva E.V. Dielectric properties of the ferroelectric composite (NaNO₂)_{0.9}/(BaTiO₃)_{0.1}. Composites: Part B, 2014, v. 66, p. 190 193.
- 4. Вендик О.Г. Сегнетоэлектрики в технике СВЧ. М.: Советское радио, 1979, 272 с.
- 5. Billig E., Plessner K.W. Note on the dielectric dispersion in polycrystalline. Materials Proc. Phys. Soc., 1951, v. 64B, p. 361 365.
- 6. Masuno K., Murakami T., Waku S. Dielectric ceramics with boundary-layer structure for high frequency application. Ferroelectrics, 1972, v. 3, p. 315 319.
- Иона Ф., Ширане Д. Сегнетоэлекрические кристаллы.
 М.: Мир, 1965, 555 с.
- 8. Лайнс М., Гласс А. Сегнетоэлектрики и родственные им материалы. М.: Мир, 1981, 736 с.
- 9. Busch G., Scherrer P. A New seignette-electric substance. Naturwiss, 1935, v. 23, p. 737 – 738.
- Khokhlov D. Lead Chalcogenides: Physics & Applications, Taylor & Francis. New York, 2003, 720 p.
- Maslov V.V., Baryshnikov S.V., Copelevich Ya.V. Photostimulated phase transition shift in a narrow gap ferroelectric-semiconductor. Ferroelectrics, 1982, v. 45, p. 51 – 56.
- Yaraneri H., Grassie A.D.C., Loram J.W. Coupled phase transitions in Pb_{1-x}Ge_xTe. Lect. Notes in Phys, 1982, v. 152, p. 270 274.
- Epifanov Yu.N., Levanyuk A.P., Levanyuk G.M. Interaction of carriers with to-phonons and electrical conductivity of ferroelectrics. Ferroelectrics, 1981, v. 35, p. 199 – 202.
- 14. Рябова Л.И., Хохлов Д.Р. Терагерцовая фотопроводимость и нетривиальные локальные электронные состояния в легированных полупроводниках на основе теллурида свинца. УФН, 2014, т. 184, с. 1033 1044.
- 15. Барышников С.В., Барышников А.С., Баранов А.Ф., Маслов В.В. Особенности диэлектрических аномалии в Pb_{1-x}Ge_xTe(Ga) в районе сегнетоэлектрического фазового перехода. ФТТ, 2008, т. 50, № 7, с. 1270 1273.
- 16. Ikeda S., Kominami H., Koyama K., Wada Y. Nonlinear dielectric constant and ferroelectric-to-paraelectric phase transition in copolymers of vinylidene fluoride and trifluoroethylene. J. Appl. Phys, 1987, v. 62, no. 8, p. 3339 – 3342.
- 17. Андреева А.В. Основы физикохимии и технологии композитов. М.: Радиотехника, 2001, 191 с.
- 18. Виноградов А.П. Электродинамика композитных материалов. М.: Эдиториал УССР, 2001, 208 с.
- Pintilie L., Vrejoiu I., Hesse D., LeRhun G., Alexe M. Ferroelectric polarization-leakage current relation in high quality epitaxial Pb(Zr,Ti)O₃ films. Physical Review B, 2007, v. 75, p. 104103 104108.

References

 Lallart M. Ferroelectrics – Applications. InTech Publ., 2011, 250 p. Access via http://www.intechopen.com/ books/ferroelectrics-applications.

- 2. Kamenshchikov M.V., Solnyshkin A.V., Bogomolov A.A., Pronin I.P. Electrical conduction mechanisms in PZT thin films deposited by RF magnetron sputtering method. Ferroelectrics, 2013, vol.442, no. 1, pp. 101 106.
- Baryshnikov S.V., Stukova E.V., Koroleva E.V. Dielectric properties of the ferroelectric composite (NaNO₂)_{0.9}/(BaTiO₃)_{0.1}. Composites: Part B, 2014, vol. 66, pp. 190 193.
- Vendik O.G. Segnetoelectriki v tekhnike SVCH [Ferroelectric material in technician microwave frequency]. Moscow, Soviet radio Publ., 1979, 272 p.
- 5. Billig E., Plessner K.W. Note on the dielectric dispersion in polycrystalline. Materials Proc. Phys. Soc, 1951, vol. 64B, pp. 361 365.
- Masuno K., Murakami T., Waku S. Dielectric ceramics with boundary-layer structure for high frequency application. Ferroelectrics, 1972, vol.3, pp. 315 – 319.
- 7. Jona F., Shirane G. Ferroelectric crystals. Oxford, Pergamon Press, 1962, 402 p.
- 8. Lines M., Glass A. Principles and applications of ferroelectrics and related materials. Oxford, Clarendon Press, 1977, 680 p.
- 9. Busch G., Scherrer P. A New seignette-electric substance. Naturwiss, 1935, vol. 23, pp. 737 738.
- Khokhlov D. Lead Chalcogenides: Physics & Applications, Taylor & Francis. New York, 2003, 720 p.
- 11. Maslov V.V., Baryshnikov S.V., Copelevich Ya.V. Photostimulated phase transition shift in a narrow gap ferroelectric-semiconductor. Ferroelectrics, 1982, vol.45, pp. 51 56.
- Yaraneri H., Grassie A.D.C., Loram J.W. Coupled phase transitions in Pb_{1-x}Ge_xTe. Lect. Notes in Phys., 1982, vol. 152, pp. 270 – 274.

- Epifanov Yu.N., Levanyuk A.P., Levanyuk G.M. Interaction of carriers with to-phonons and electrical conductivity of ferroelectrics. Ferro-electrics, 1981, vol. 35, pp. 199 – 202.
- 14. Ryabova L.I., Khokhlov D.R. Teragertsovaya fotoprovodimost i netrivialnye lokalnye elektronnye sostoyaniya v legirovannykh poluprovodnikakh na osnove tellurida svintsa [Terahertz photoconductivity and nontrivial local electronic states in doped lead telluride-based semiconductors]. Uspekhi fizicheskikh nauk Physics-Uspekhi (Advances in Physical Sciences), 2014, vol. 184, no. 10, pp. 1033 1044.
- 15. Baryshnikov S.V., Baryshnikov A.S., Baranov A.F., Maslov V.V. Specific features of dielectric anomalies in Pb_{1-x}Ge_xTe(Ga) near a ferroelectric phase transition. Physics of the Solid State, 2008, vol.50, no. 7, pp. 1322 1325.
- Ikeda S., Kominami H., Koyama K., Wada Y. Nonlinear dielectric constant and ferroelectric-to-paraelectric phase transition in copolymers of vinylidene fluoride and trifluoroethylene. J. Appl. Phys, 1987, vol. 62, no. 8, pp. 3339 – 3342.
- Andreeva A.V. Osnovi fizikokhimii i tekhnologii compozitov [Bases physical chemistry and technologies of composites]. Moscow, Radio engineering Publ., 2001, 191 p.
- 18. Vinogradov A.P. *Electrodinamika compozitnikh materialov* [Electrodynamics of composit materials]. Moscow, Editorial USSR Publ., 2001, 208 p.
- Pintilie L., Vrejoiu I., Hesse D., LeRhun G., Alexe M. Ferroelectric polarization-leakage current relation in high quality epitaxial Pb(Zr,Ti)O₃ films. Physical Review B, 2007, vol. 75, pp. 104103 104108.

Статья поступила в редакцию 28.11.2014 г.

Барышников Сергей Васильевич — ФГБОУ ВПО "Благовещенский государственный педагогический университет" (675000, Россия, Амурская обл., г. Благовещенск, ул. Ленина, 104), доктор физико-математических наук, профессор, специалист в области сегнетоэлектричества. E-mail:svbar2003@list.ru.

Меределина Татьяна Александровна — ФГБОУ ВПО "Благовещенский государственный педагогический университет" (675000, Россия, Амурская обл., г. Благовещенск, ул. Ленина, 104), аспирант третьего года обучения, специализируется в области физики конденсированных сред. E-mail: biofirm@mail.ru

Шацкая Юлия Алексеевна — ФГБОУ ВПО "Благовещенский государственный педагогический университет" (675000, Россия, Амурская обл., г. Благовещенск, ул. Ленина, 104), кандидат физико-математических наук, специалист в области сегнетоэлектричества. E-mail: shack4@mail.ru

Антонов Антон Анатольевич — ФГБОУ ВПО "Благовещенский государственный педагогический университет" (675000, Россия, Амурская обл., г. Благовещенск, ул. Ленина, 104), аспирант второго года обучения, специализируется в области физики конденсированных сред. E-mail: piligrim.a3@gmail.com

Linear and nonlinear dielectric properties of ferroelectric composites $(KH_2PO_4)_{1-x}/(Pb_{0.95}Ge_{0.05}Te\langle Ga\rangle)_x$

S. V. Baryshnikov, T. A. Meredelina, Y. A. Shatskaya, A. A. Antonov

The linear and nonlinear dielectric properties of the composites $(KH_2PO_4)_{1-x}/(Pb_{0.95}Ge_{0.05}Te(Ga))_x$ are studied. It is shown that a significant growth of both real and imaginary parts of the dielectric permittivity occurs with the increase of the $Pb_{0.95}Ge_{0.05}Te(Ga)$ share. The phase transition ($T_c = 123~K$) diffuses, the hysteresis appears on the temperature dependence of the ϵ' (T). Nonlinearity, characterized by the coefficient of the third harmonic, increases with increasing x.

Keywords: ferroelectrics, composites, dielectric permeability, phase transitions.

Sergey Baryshnikov — Blagoveshchensk State Pedagogical University (675000 Blagoveshchensk, Amur region, Russia, Lenin st, 104), DrSci (Phys-Math), professor, specialist in ferroelectricity. E-mail: svbar2003@list.ru.

Tatiana Meredelina — Blagoveshchensk State Pedagogical University (675000 Blagoveshchensk, Amur region, Russia, Lenin st, 104), post-graduate student, specialises in physics of condensed materials. E-mail: biofirm@mail.ru.

Yulia Shatskaya — Blagoveshchensk State Pedagogical University (675000 Blagoveshchensk, Amur region, Russia, Lenin st, 104), PhD (Phys-Math), specialist in ferroelectricity. E-mail: shack4@mail.ru.

Anton Antonov — Blagoveshchensk State Pedagogical University (675000 Blagoveshchensk, Amur region, Russia, Lenin st, 104), post-graduate student, in physics of condensed materials. Email: piligrim.a3@gmail.com.